

## مقاومت خمی تیر مسلح با روکش الیاف فلزی قلابدار

حسین بابایی<sup>۱\*</sup>، محمدعلی دشتی رحمت آبادی<sup>۲</sup>

۱- دانش آموخته کارشناسی ارشد عمران - سازه، گروه عمران دانشگاه آزاد اسلامی واحد یزد - ایران، babaei.hossein63@yahoo.com

۲- عضو هیأت علمی دانشگاه آزاد اسلامی واحد یزد - ایران، dashti1804@yahoo.com

### چکیده

در این تحقیق تقویت خمی تیرهای بتن مسلح با استفاده از الیاف فلزی قلابدار مورد بررسی قرار می‌گیرد. هفت عدد نمونه تیر آزمایشگاهی به عرض مقطع ۱۰۰ میلیمتر، ارتفاع ۱۵۰ میلیمتر و طول ۲۱۰۰ میلیمتر با درصد فولاد کششی یکسان ساخته شد.

یک نمونه بعنوان تیر شاهد نمونه کنترل تقویت نشده، سه نمونه در حالت شکست فشاری که دو نمونه ضخامت ۳۰ میلیمتر و یک نمونه به ضخامت ۱۵۰ میلیمتر روکش شده اند و سه نمونه در حالت شکست کششی و مطابق با ضخامت‌های نمونه فشاری مورد آزمایش قرار گرفتند که درصد الیاف استفاده شده برای نمونه‌ها معادل ۵٪ وزن سیمان مصرفی می‌باشد.

آزمایشها به صورت خمش دو نقطه‌ای انجام شد.

نمونه‌های تقویت شده نسبت به نمونه کنترلی دارای مقاومت و سختی خمی بیشتر و همچنین شکل پذیری و تعوییر مکان بیشتر بودند که نتایج این تحقیق نشان می‌دهد مقاومت شکست حالت فشاری بیشتر از مقاومت شکست حالت کششی است و میزان جذب انرژی کلیه تیرها نسبت به تیر شاهد افزایش چشم‌گیری را نشان می‌دهد.

**واژه‌های کلیدی:** الیاف فلزی قلابدار- بتن مسلح- تقویت خمی- آزمایش (حالت فشاری- کششی).

### -۱ مقدمه

بدلائل مختلف از جمله عدم اجرای صحیح بتن، عدم بکارگیری آرماتورهای برشی و خمی بطور مناسب، تغییر نحوه استفاده از سازه، احتمال شکست نامطلوب در اعضای سازه همانند تیرها، ستونها، اتصالات و ... می‌تواند وجود داشته باشد. هر یک از این اعضا باید مقاوم در برابر بارها و نیروهای مختلف بوده و قابلیت ارائه رفتار نرم را از خود داشته باشدند.

تیرهای بتنی مسلح باید بنحوی طراحی شوند تا بتوانند مقاومت خمی را بطور کامل دارا بوده و شکست خمی نرم را فراهم آورند. شکست برشی بصورت شکست کششی قطری در اعضای بتن مسلح، از نوع شکست ترد بحساب می‌آید. بنابراین، یک تیر بتن مسلح باید دارای مقاومت برشی کافی بوده تا اطمینان از شکست نرم خمی حاصل شود.

### -۲ انواع شکست خمی

بر پایه‌ی مطالعات انجام گرفته توسط محققان مختلف، انواع شکست خمی نمونه‌های تقویت شده عبارتند از: ۱) تسلیم فولادهای طولی به همراه گسیختگی پلیمرهای الیافی ۲) خرد شدن بتن در فشار قبل از گسیختگی پلیمرهای الیافی<sup>۳</sup>) جدا شدن انتهای پلیمرهای الیافی از سطح بتن به همراه پوشش بتن روی میلگردهای طولی<sup>۴</sup>) جدا شدن انتهای پلیمرهای الیافی از سطح بتن به همراه قسمتی از پوشش بتن<sup>۵</sup>) جدا شدن پلیمرهای الیافی از سطح بتن به همراه قسمتی از پوشش بتن به علت ترک خمی<sup>۶</sup>) جدا شدن پلیمرهای الیافی از سطح بتن به همراه قسمتی از پوشش بتن به علت ترک خمی- برشی.

جدا شدن انتهای پلیمرهای الیافی از سطح بتن (حالات های ۳ و ۴) به علت ایجاد تمرکز تنش های برشی و قائم در انتهای ورق های پلیمری الیافی می‌باشد. مقدار تنش برشی ماکریزم در انتهای صفحه‌ی پلیمری الیافی با افزایش ضخامت ورق های پلیمری الیافی و مدول الاستیسیته ی چسب، افزایش و با افزایش ضخامت لایه ی چسب کاهش می‌یابد. همچنین، مقدار تنش کششی قائم ماکریزم، با افزایش ضخامت لایه ی چسب کاهش می

یابد. این حالت شکست به صورت آزمایشگاهی، تحلیلی و مدل های اجزای محدود در مراجع [۱-۵] بررسی شده است. حالت دیگر از شکست های خمی نام برد شده، جدا شدن پلیمرهای الیافی از سطح بتن به همراه قسمتی از پوشش بتن به علت ترک خمی- بشی یا ترک خمی می باشد. این نوع شکست بستگی به رفتار تنفس پیوستگی- لغزش بین ورق های پلیمری الیافی و بتن دارد و در اعضای لاغر و اعصابی که با لایه ی نازکی از ورق های پلیمری الیافی تقویت شده اند، محتمل تر است. همچنین، خوردگی فولادهای طولی و کاهش ناگهانی در سطح مقطع فولادهای طولی در محل لنگرهای خمی و نیروهای بشی بزرگ، احتمال این نوع شکست را افزایش می دهد [۶ و ۷]. لذا با توجه به در دست نبودن منابع کافی در خصوص مقاوم سازی تیر با الیاف فلزی از منابع جایگزین استفاده شده است.

### ۳- برنامه آزمایش ها

برای آزمایش مقاومت خمی ۷ نمونه تیر  $210 \times 10 \times 15$  سانتی متر که مطابق استاندارد ASTM C293 ساخته شده است.

#### ۱-۳- مصالح مصرفی

##### میلگرد مصرفی

میلگرد مصرفی کششی در بالا و پایین تیر  $\varphi 8$

میلگرد بشی (خاموت)  $\varphi 4 @ 2 \text{ cm}$

سیمان

سیمان مورد استفاده در این پایان نامه سیمان پرتلند نوع II کارخانه اردستان (بدون ذرات نانو و میکروسیلیس) مطابق با استاندارد ایران می باشد.

#### ۲-۳- طرح اختلاط

طرح اختلاط بتن روکش تیر در جدول ۱ نشان داده شده است.

جدول ۱- جزییات اختلاط بتن مصرفی ( $\text{Kg/m}^3$ )

آب	نحوی	ماسه	سیمان
۲۰۰	۹۰۰	۸۵۰	۳۲۰

در این پروژه از الیاف فلزی که در دو انتهای قلاب دار هستند استفاده شد این الیاف محصول کشور ایران از کارخانجات شهر زنجان که مشخصات آن در جدول ارائه شده است:

که در آزمایش فوق این الیاف را توسط قطعه ساخته شده و بوسیله دستگاه پرس بطور کاملاً مساوی به دو قسمت تبدیل می کنیم تا الیاف کوتاهتر شده و از آن برای روکش تیر مسلح استفاده می شود.

جدول ۲- مشخصات الیاف به کار برد شده کوتاه

ارتفاع قلاب انتهایی	ارتفاع قلاب انتهایی	ضخامت	قطر	طول	شكل الیاف
$2/5 \text{ mm} \pm 10\%$	$0$	$0/80$	$12/5 \text{ mm}$		

که در شکل ۱ الیاف مذکور مشاهده می گردد.

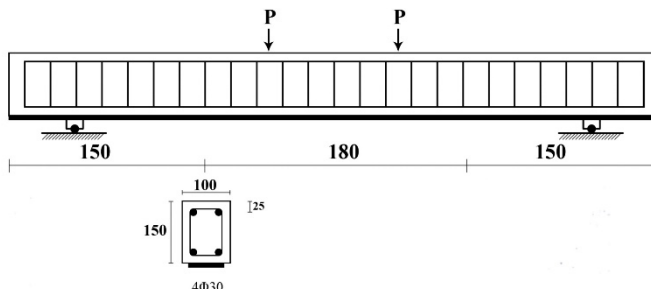


شکل ۱- نحوه کوتاه کردن الیاف فلزی بلند

#### ۳-۳- نمونه های آزمایشگاهی

### مقاوم سازی تیر مسلح خمشی

برای روکش تیر با الیاف فلزی فقط از اختلاط سیمان و ماسه همراه با ۵٪ الیاف فلزی کوتاه مطابق شکل ۱ استفاده شده است .  
تیرها را با ضخامت‌های ۳ و ۱/۵ سانتیمتر روکش می‌کنیم. بدین صورت که ابتدا تیرهای عمل آوری شده در آب را بیرون آورده و بعد از خشک شدن روی تیرها را بوسیله برس سیمی خوب تمیز کرده و کمی مروط می‌کنیم. سپس روی تیرها را با استفاده از مخلوط ماسه و سیمان با ۵٪ الیاف کوتاه فلزی پر می‌کنیم. بعد از اینکه بتن روکش شده کاملاً خودش را گرفت دوباره تیرها را جهت عمل آوری به مدت ۲۸ روز در آب قرار می‌دهیم.



شکل ۲- نمونه تیر مسلح

رسم مقطع تیر



شکل ۳- نحوه مقاوم سازی تیر مسلح با روکش

### ۴-۳- نحوه انجام آزمایش

نمونه ها بعد از زمان عمل آوری بصورت خمش دو نقطه ای در دو حالت شکست فشاری و حالت شکست کششی بار گذاری شد. تغییر مکان و سطح نمونه ها با استفاده از یک تغییر شکل سنج اندازه گیری شد. اطلاعات مربوط به بارها و تغییر مکانها توسط دو عدد دوربین بطور همزمان برداشت شد، و نمودار بار تغییر - مکان توسط برنامه اکسل رسم شد.



شکل ۴- نحوه بارگذاری آزمایش تیر خمشی مسلح

به دلیل زیاد شدن طول تیر یک عدد ناوادانی ۱۸ را انتخاب کرده بطوريکه بالهای ناوادانی به سمت پایین باشد، آنرا روی دستگاه جک قرار داده محکم می‌کنیم و برای اینکه در مراحل آزمایش ناوادانی دچار تغییر شکلی نشود مانند شکل ۴ دوطرف آنرا با ورق جوش داده تا کاملاً صلب شود.



شکل ۵- نحوه شکست تیر شاهد





شکل ۶- نحوه آزمایش تیر فشاری و شکست تیر



شکل ۷- نحوه آزمایش تیر کششی و شکست تیر و گسیختگی فولاد کششی





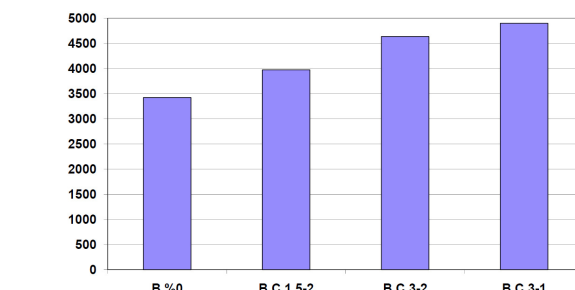
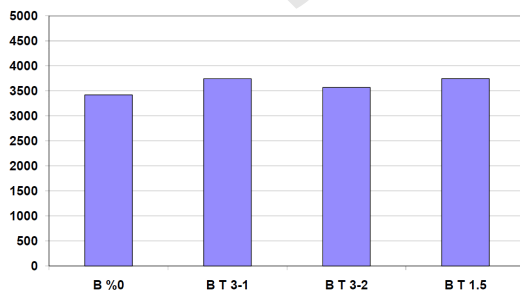
شکل ۸- تیر خمثی مسلح روکش شده با الیاف فلزی

#### ۴-بورسی و تحلیل نتایج آزمایش

این قسمت نتایج بدست آمده از آزمایش‌ها خمثی نمونه‌های تیر شامل مقاومت خمثی، است که تیرها را بصورت فشاری وکشی مورد آزمایش قرار می‌دهیم. که نتایج آن در جدول ۳ بدست آمده است.

جدول ۳- مقاومت خمثی تیر مسلح مقاوم سازی شده

نمونه تیر خمثی	درصد الیاف کوتاه	مقادیر مقاومت خمثی (kg)	درصد نسبت مقاوت تیر بدون روکش با تیر روکش دار
B %0	.	۳۴۲۲	۱/۱۶
B C 1.5-2	٪۵	۳۹۷۳	۱/۳۵
B C 3-2	٪۵	۴۶۳۶	۱/۴۳
B C 3-1	٪۵	۴۹۰۰	
B T 3-1	٪۵	۳۷۴۶	۱/۰۹
B T 3-2	٪۵	۳۵۷۱	۱/۰۴
B T 1.5	٪۵	۳۷۴۷	۱/۰۹



همانطوریکه در جدول ۳ مشخص است باتوجه به مقاوم سازی تیر با الیاف در هر دو ضخامت  $1/5$  و  $3CM$  در صد مقاومت نسبت به تیر ساده مقاوم سازی نشده (بدون روکش) کمتر از درصد مقاومت فشاری در هر دو ضخامت می باشد. و در موارد فشاری تیر مقاومت خمثی بیشتری نسبت به حالت کششی دارد.



متوسط انديس‌های طاقت خمشی و مقاومت پسماند طاقت خمشی به ترتیب سطح زیر منحنی بار- تغییر شکل، ۳۸، ۵/۵۸ و ۱۰/۵۸ تقسیم بر سطح زیر منحنی بار- تغییر مکان حد الاستیک (δ) با انديس‌های I<sub>۱</sub>، I<sub>۲</sub> و I<sub>۵</sub> نشان می‌دهند. بنابراین اين انديس‌های اوليه رفتار و میزان جذب انرژی را در تغییر شکل‌های کوچک و اولیه نشان می‌دهند در حالی که از انديس‌های بالاتر مقایسه رفتار تیر در تغییر شکل‌های بزرگ استفاده می‌گردد.

**جدول ۴- متوسط انديس‌های طاقت خمشی تیر مسلح مقاوم سازی شده در حالت کششی**

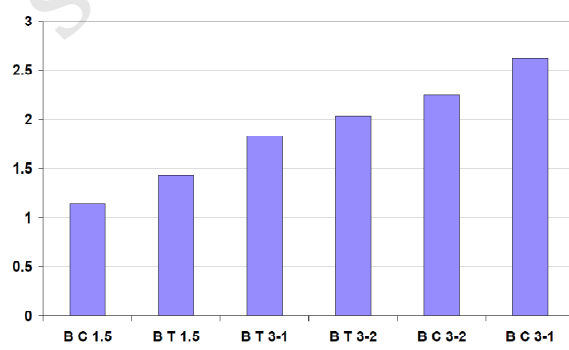
انديس‌های مقاومت پسماند طاقت خمشی		متوسط انديس‌های طاقت خمشی			نمونه تیر خمشی
R <sub>۱۰ و ۲۰</sub>	R <sub>۵ و ۱۰</sub>	I <sub>۲</sub> .	I <sub>۱</sub> .	I <sub>۵</sub>	I
۱۵/۳	۲۰/۴	۳۲/۸۱	۱۷/۵	۷/۲	B 0%
۱۴/۵۲	۲۱/۰۲	۳۲/۶۹	۱۸/۱۷	۷/۶۶	B T 1.5
۱۴/۰۱	۱۸/۸۸	۳۰/۸۲	۱۶/۸۱	۷/۳۷	B T 3-1
۶/۹۴	۱۴/۱۶	۲۱	۱۴/۰۶	۷	B T 3-2

**جدول ۵- متوسط انديس‌های طاقت خمشی تیر مسلح مقاوم سازی شده در حالت فشاری**

انديس‌های مقاومت پسماند طاقت خمشی		متوسط انديس‌های طاقت خمشي			نمونه تیر خمشي
R <sub>۱۰ و ۲۰</sub>	R <sub>۵ و ۱۰</sub>	I <sub>۲</sub> .	I <sub>۱</sub> .	I <sub>۵</sub>	I
۱۵/۳	۲۰/۴	۳۲/۸۱	۱۷/۵	۷/۲	B 0%
۲۵/۶۲	۲۶/۷۸	۴۷/۴۴	۲۱/۸۲	۸/۴۳	B C 1.5
۱۱/۲	۱۹/۹۲	۲۸/۸۷	۱۷/۶۷	۷/۷۱	B C 3-2
۱۱/۲۸	۱۵/۵۶	۲۸/۶۱	۱۷/۲۳	۹/۵۵	B C 3-1

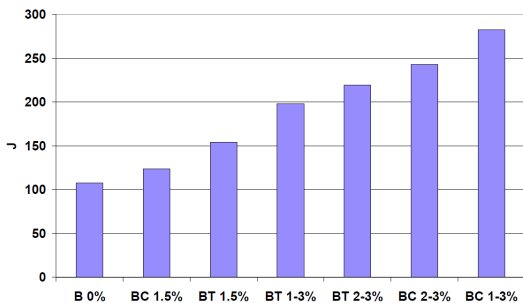
**جدول ۶- نسبت انرژی جذب شده نمونه‌ها به تیر شاهد (بدون روکش)**

۱/۱۴	B C 1.5
۱/۴۳	B T 1.5
۱/۸۳	B T 3-1
۲/۰۳	B T 3-2
۲/۲۵	B C 3-2
۲/۶۲	B C 3-1

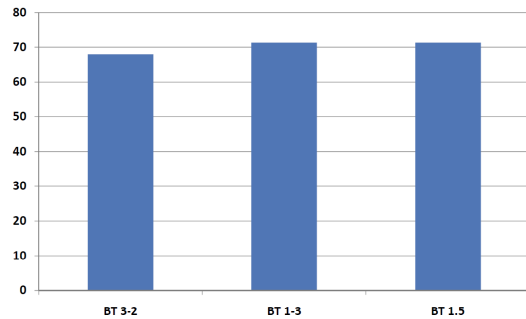


**نمودار ۳- درصد جذب انرژی تیر خمشی مسلح**

همانطور که در جدول ۶ و نمودار ۳ نشان داده شده است میزان درصد جذب انرژی در حالت های فشاری بیشتر از حالت شکست کششی می باشد.



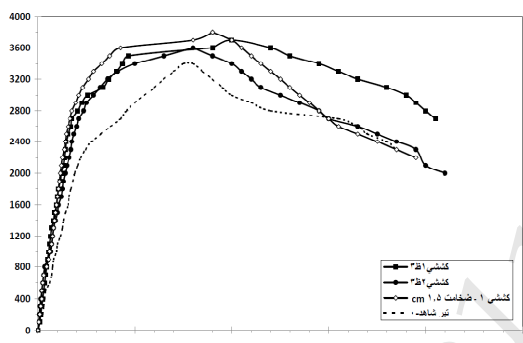
نمودار ۵- میزان انرژی جذب شده تیر خمثی مسلح مقاوم سازی شده



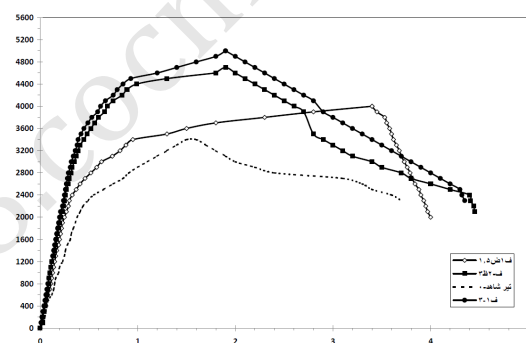
نمودار ۴- مقاومت کششی تیر خمثی مسلح مقاوم سازی شده

با توجه به نمودار ۵ مشخص می شود که میزان انرژی جذب شده کلیه تیرها نسبت به نمونه شاهد بیشتر می باشد و میتوان گفت با انجام مقاوم سازی بر روی تیرها سختی بیشتری ایجاد شده و تیرها مقاومت بیشتری را تحمل می کنند.

## نمودار تیر خمثی مسلح مقاوم سازی شده



نمودار ۶- تیر خمثی مسلح مقاوم سازی شده (حالت فشاری)



نمودار ۶- تیر خمثی مسلح مقاوم سازی شده (حالت فشاری)

با توجه به نمودارهای خمثی برای درصدهای مختلف آزمایش شده مشاهده می شود که در مراحل اولیه بار گذاری (قبل از ترک خوردگی خمثی) نمودارهای بار- تغییرمکان نمونه ها تقریباً بر هم منطبق هستند. به تدریج با افزایش بار، نمونه های تقویت شده سختی بیشتری از خود نشان می دهند با توجه مقاومت های تیر خمثی مسلح مشاهده می شود که نمونه های خمثی که بصورت فشاری تقویت شده است، مقاومت بیشتری از نمونه های تقویت شده در حالت کششی از خود نشان می دهد و درصد مقاومت بیشتری نسبت به دیگر نمونه ها دارد و با توجه به شکلهای (۵) الی (۷) در تمام نمونه ها به دلیل ایجاد تمرکز تنش برشی و قائم بروی تیر مقاوم سازی شده (روکش شده) ابتدا ترک مورب در پوشش بتن اتفاق می افتد که با افزایش بار ترک ایجاد شده در امتداد آرماتورهای کششی گسترش پیدا کرده و سبب ایجاد شکست ناگهانی در نمونه ها می شود، به طوریکه آرماتورها نیز دچار گسیختگی می شود. و همانطوریکه در نمودارهای بار- تغییر مکان نشان داده شده است در لحظه شکست نهایی و در حالی که بار کاهش می یابد دچار تغییر شکل های بزرگ تری می شویم و همین باعث حرکت نمودارها به سمت پایین می شود.

همچنین طبق نمودار ۶ برای حالت فشاری مشاهده می شود که با تقویت تیر با ضخامت ۱.۵CM بار حداکثر قابل تحمل نمونه نسبت به نمونه شاهد (بدون روکش) تقویت نشده افزایش یافته و همچنین تغییر مکان نظیر بار حداکثر نمونه تقویت شده از نمونه شاهد هم بیشتر می باشد. برای تیرهای با ضخامت ۳CM نسبت به تیر شاهد و نمونه های تقویت شده با ضخامت ۱.۵CM مقدار بار حداکثر و تغییر مکان بیشتر بدست می آید.

در نمودار ۷ برای حالت کششی نیز مشاهده می شود که با تقویت تیر با ضخامت های مختلف بار قابل تحمل نمونه ها نسبت به نمونه شاهد افزایش یافته و تغییر مکان نمونه ها نیز بیشتر می شود.



## ۵- نتیجه گیری

در این تحقیق اثر الیاف فلزی در تقویت خمشی تیرهای بتن مسلح مطالعه گردید. بر اساس اطلاعات بدیت آمده از انجام آزمایش‌ها، نتایج زیر به دست آمده است:

استفاده از الیاف در مقاوم سازی تیربا ضخامت های  $1/5$  و  $3\text{cm}$  باعث افزایش برابری شده که حاصل آن در حالت شکست فشاری بیشتر از حالت شکست کششی می باشد.

در آزمایش مقاومت خمشی مشاهده می شود که نسبت درصد جذب انرژی نمونه‌های مقاوم‌سازی شده نسبت به نمونه شاهد افزایش داشته است به طور مثال نمونه‌های فشاری از نمونه‌های کششی انرژی بیشتری را جذب می کنند.

## ۶- منابع

- [1] Maalej, M., Bian, Y. "Interfacial Shear Stress Concentration in FRP-Strengthened Beams", Composite Structures, Vol.54, 2001, pp. 417-426 .
- [2] Malek, A.M.. Saadatmanesh, H, Ehsani, M.R. "Prediction of Failure Load of R/C Beams Strengthened WithFRP Plate Due to Stress Concentration at the Plate End", Act Structural Journal. Vol.95, No.1. 1998, pp. 142-152 .
- [3] Ye, J.Q. "Interfacial Shear Transfer of RC Beams Strengthened by Bonded Composite Plates". Cement &Concrete Composite, Vo1.23. 2001, pp. 411-417 .
- [4] Ascione, L., Fen, L. "Modeling of Composite/Concrete Interface of RC Beams Strengthened with Corposue Laminates", Composites Part H: Engineering, Vol.31, 2000, pp. 535-540.
- [5] Lau, K.T., Dutta, P.K., Zhou, L.M., Hui, D. "Mechanics of Bonds in an FRP Bonded Concrete Beam". Composites Part B: Engineering, Vo1.32, 2001, pp. 49J-502 .
- [6] Teng, J.G., Smith, S.I', Yao, J .. Chen, J.F. "Intermediate Crack-induced Debonding in RC Beams and Slabs", Construction and Building Materials, Vol.17, 2003, pp. 447-462 .
- [7] Sebastian, "I.M. "Significance of Midspan Debonding Failure in FRP-Plated Concrete Beams", Journal of Structural Engineering, ASCE. Vol.127, No.7, 2001, pp. 792-798.

